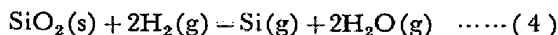




(a) については、考えられる反応は



であり、問題は生成する  $\text{H}_2\text{O}$  が反応(1)における  $P_{\text{SiO}_2} = P_{\text{H}_2\text{O}}$  の条件をみだすことである。これについては、本実験条件下においては、上記の副反応(4)により生ずる  $P_{\text{H}_2\text{O}}$  は反応(1)による  $P_{\text{H}_2\text{O}}$  にくらべ十分に小さく、無視することができる。

(b) については、反応(1)および(2)のおこる場所を接近させ、両者の温度をほぼ等しくすることにより解決できる。

### 3. 実験

#### 3.1 実験装置

装置は  $\text{H}_2\text{-Ar}$  混合ガス精製装置、縦型モリブデン抵抗炉、および混合ガスの分析装置よりなる。Fig. 1 に装置の概略を、Fig. 2 にモリブデン抵抗炉を示す。

ポンベに充填した  $\text{H}_2\text{-Ar}$  混合ガスは、特に酸素あるいは酸素を含む化合物の除去に十分注意して精製した後、反応炉下部より炉内に導入する。ガス組成は、炉に入る前と、炉から出たガスについて、ガスクロマトグラフにより分析して決定する。

縦型モリブデン抵抗炉は、 $1\text{ mm } \phi$  のモリブデン線を巻いたアルミナ反応管 ( $20\text{ mm I.D.} \times 800\text{ mm}$ ) と石英管 ( $42\text{ mm I.D.} \times 680\text{ mm}$ ) との2重管になつており、平衡実験に使用した排ガスを両管の間に通してモリブデン線の酸化を防いだ。

炉内には不透明石英片を下部から反応部までつめてあり、この石英充填層の直上に位置するように、試料をモリブデン線でつるした。モリブデン線の他端は炉の上方に設置した熱天秤に連結し、浸珪による試料の重量変化を測定するようにしてある。

温度調節は、炉の下部より石英層にアルミナ管 ( $6\phi \times 4\phi \times 600\text{ mm}$ ) を通して、これに挿入した Pt·Rh5%-

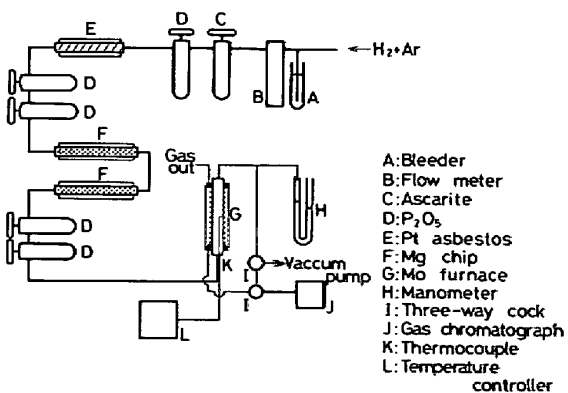


Fig. 1. Schematic illustration of experimental apparatus.

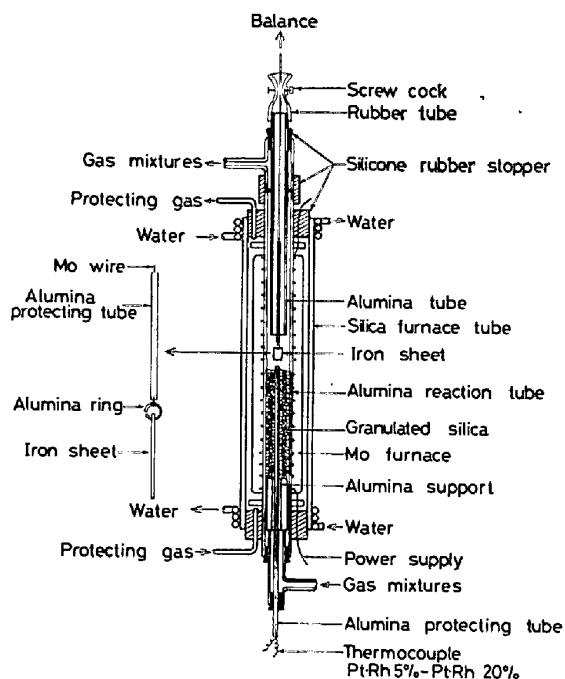


Fig. 2. Molybdenum-wound resistance furnace.

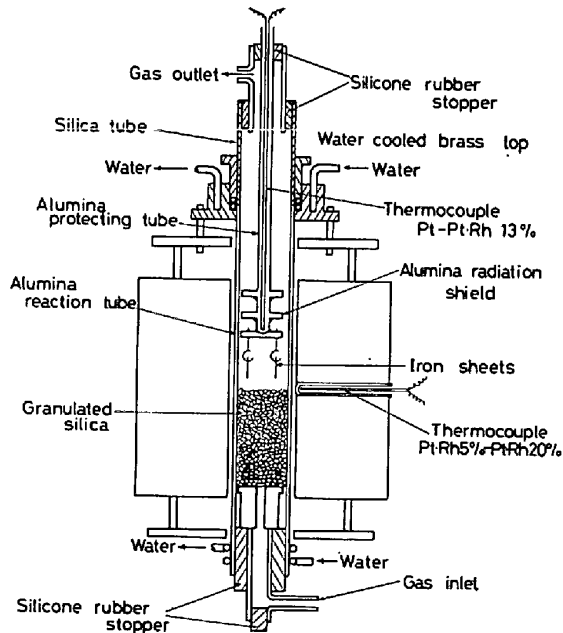


Fig. 3. SiC resistance furnace.

Pt·Rh20% 热電対を検出端として、 $\pm 3^\circ\text{C}$  以内で自動制御した。炉内の温度分布は、垂直方向に  $25\text{ mm}$  の範囲で  $\pm 2^\circ\text{C}$  の均熱帯が得られた。

実験は、 $1400^\circ\text{C}$ 、 $1435^\circ\text{C}$ 、 $1470^\circ\text{C}$  および  $1495^\circ\text{C}$  の4種の温度で行つたが、 $1400^\circ\text{C}$  と  $1435^\circ\text{C}$  における実験の一部については、縦型 SiC 抵抗炉 (Fig. 3) を使用した。この炉の場合も、原理的にはモリブデン抵抗炉と同じであるが、反応管は  $35\text{ mm I.D.} \times 800\text{ mm}$  のアルミナ管であり、その上部に透明石英管 ( $35\text{ mm I.D.}$

$\times 300\text{ mm}$ )を、実験終了後の試料引き上げの際の冷却をかねた真鍮製フランジで接続した。

温度調節は、炉体側部から挿入した熱電対 (Pt·Rh 5% - Pt·Rh 20%) により行い、 $\pm 1^\circ\text{C}$  以内に自動制御した。これにより、35 mm の範囲で  $\pm 1^\circ\text{C}$  の均熱帯を得ることができた。

### 3.2 使用材料

反応管や熱電対用保護管としては、いずれも高アルミニナ質 (99.5%  $\text{Al}_2\text{O}_3$ ) のものを使用した。

純鉄試料としては、分光分析用 Johnson Matthey (99.99%Fe) のものを使用し、これを冷間圧延により  $25 \times 10$   $\times 0.3$  mm の薄片にし、実験に供した。

充填した石英は、不透明石英を 25~30 メッシュに粉碎したものであり、濃塩酸および蒸留水で洗浄後、120°C で 24 h 乾燥させて使用した。

$\text{H}_2\text{-Ar}$  混合ガスは、 $\text{H}_2$  および  $\text{Ar}$  とともに市販のポンベづめのものを用いて、あらかじめ所定の水素分圧になるようにポンペに充填したものである。

### 3.3 実験方法

混合ガスによる置換を完全にするため、まず炉内を真空ポンプにより  $10\text{Pa}$  ( $8 \times 10^{-2} \text{ mmHg}$ ) 程度に排気し、ガスもれのないことをたしかめた後、 $\text{H}_2\text{-Ar}$  混合ガスを炉内に導入する。炉内圧力を大気より約  $600\text{Pa}$  ( $4.5\text{mmHg}$ ) 高く保ち、炉を昇温する。所定温度に達したら、炉の上部より Pt-Pt·Rh 13% 熱電対を挿入し、正確に反応温度に設定し、自動温度調節装置を作動させる。ついで、温度設定に用いた熱電対を炉から引き出し、試料をアルミナリングとモリブデン線でつるして炉内均熱帶にセットする。

反応の平衡達成は、実験中は熱天秤による試料の重量変化の測定により、また反応後の試料については、EPMMAによる試料断面の珪素濃度分布の測定、ならびに珪素濃度の時間変化により確かめた。平衡達成に要する時間は、1400°Cで48 h、1435°Cで40 h、1470°Cで25~30 h、1495°Cで15~20 hであつた。実際には念のため、これ以上の時間をかけて実験を行つた。

混合ガス中の水素分圧は、実験中しばしばガスクロマトグラフにより分析した。試料中の珪素濃度は、JIS 標準化学分析法 (JIS-G 1212) の重量分析法により定量した。その際に、同一試料をふたつに分断してそれぞれを分析し、珪素の偏析がないことを確かめた。

反応(2)の平衡定数  $K_2$  を決定するため、1560°C の溶鉄についても測定を行つた。この場合の測定装置、方法は前報<sup>1)</sup>に詳しいが、水平炉を使用した点以外は、固体鉄に関する平衡測定とほぼ同様である。

#### 4. 結果および考察

#### 4.1 平衡定数の決定

本実験方法により決定される珪素の活量の信頼性を左右するものは、測定精度とならんで反応(2)の平衡定数  $K_2$  の値である。たとえば、反応(2)の  $\Delta G^\circ$  の値に 3 000 J の差があれば、1 400°Cにおいて  $\log \gamma_{\text{Si}}$  に約 0.1 の差を生ずることになる。この平衡定数の値は多くの研究者により直接あるいは間接的に決定されているが、後に述べるように必ずしも十分な一致を示しているとは言えない。そこで本研究では、つぎのようにして  $K_2$  を決定した。式(3)の対数をとると次式が得られる。

$$K'_2 = X_{\text{Si}} / P_{\text{H}_2}$$

ただし、 $X_{\text{Si}}$  は珪素の原子分率であり、 $\gamma_{\text{Si}}$  は純粋な珪素を標準状態にとった場合の珪素の活量係数である。珪素の無限希薄溶体においては、 $\gamma_{\text{Si}} = \gamma_{\text{Si}}^{\circ}$  となり、式(5)は

$$\log K_2 = \log K'_2(X_{\text{Si}}=0) + \log \gamma_{\text{Si}}^{\circ} \quad \dots \dots \dots (6)$$

となる。

Table I. Experimental results in liquid iron-silicon alloy at 1560°C.

$P_{H_2}$ (Pa) 101325	$X_{Si}$	$P_{H_2}$ (Pa) 101325	$X_{Si}$
0.035	0.0249*	0.175	0.0699*
0.040	0.0271*	0.288	0.103
0.050	0.0317*	0.294	0.0982
0.062	0.0400*	0.369	0.114
0.070	0.0445*	0.545	0.134
0.073	0.0464*	0.561	0.139
0.097	0.0510*	0.612	0.147
0.107	0.0542*	0.940	0.175
0.117	0.0635	1.00	0.173
0.159	0.0691		

\* Previous work<sup>1)</sup>

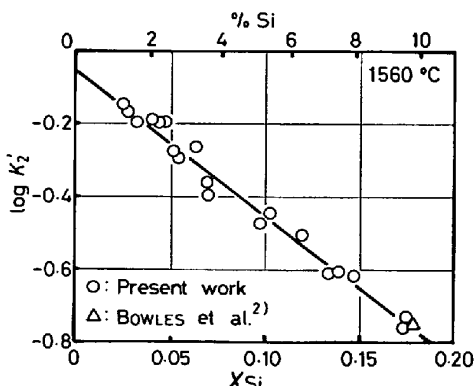


Fig. 4. Relationship between  $K'_s$  and atomic fraction of silicon in the reaction,  $\text{SiO(g)} + \text{H}_2\text{(g)} = \text{Si} + \text{H}_2\text{O(g)}$      $K'_s = X_{\text{Si}} / P_{\text{H}_2}$



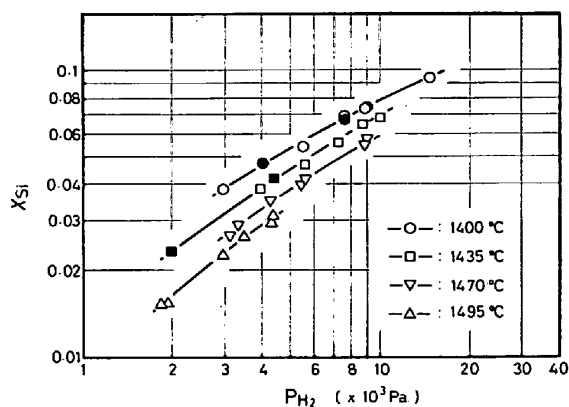


Fig. 6. Experimental results in solid iron-silicon alloy.

White open symbol; Mo furnace  
Black filled symbol; SiC furnace

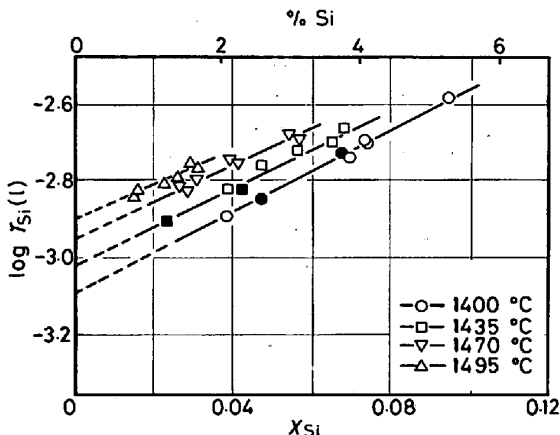


Fig. 7. Activity coefficients of silicon in solid iron.

Standard state: pure liquid silicon  
White open symbol; Mo furnace  
Black filled symbol; SiC furnace

$X_{Si}/P_{H_2}$  と、前節で決定した反応(2)の平衡定数  $K_2$  とから、式(5)の関係により、固体鉄中の珪素の活量係数  $\gamma_{Si}$  が計算される。Fig. 7 は、純粋液体珪素を標準状態にとった場合の珪素の活量係数  $\gamma_{Si}(l)$  の対数を  $X_{Si}$  に対してプロットしたものである。図より明らかのように、 $\log \gamma_{Si}(l)$  は  $X_{Si}$  に対して良好な直線関係を示す。これより

$$\begin{aligned} \log \gamma_{Si}(l) &= (-5.87 \times 10^3/T + 0.42) \\ &\quad + (2.34 \times 10^4/T - 8.67) X_{Si} \quad \dots \dots \dots (17) \\ &\quad (1400 \sim 1495^\circ C) \end{aligned}$$

が得られる。また、純粋固体珪素を標準状態にとった場合の活量係数  $\gamma_{Si}(s)$  は、次式で表わされる。

$$\begin{aligned} \log \gamma_{Si}(s) &= (-3.23 \times 10^3/T - 1.15) \\ &\quad + (2.34 \times 10^4/T - 8.67) X_{Si} \quad \dots \dots \dots (18) \\ &\quad (1400 \sim 1495^\circ C) \end{aligned}$$

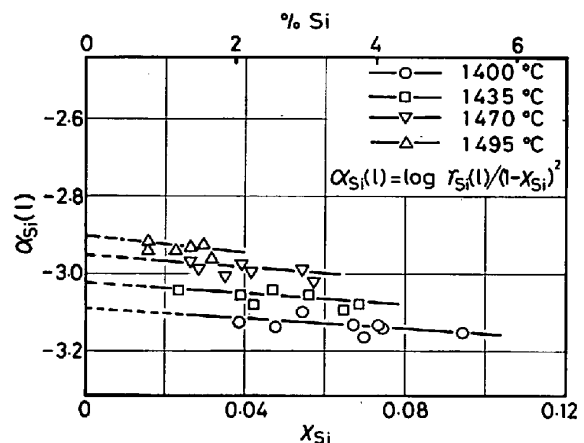


Fig. 8.  $\alpha$ -functions of silicon in solid iron.  
Standard state: pure liquid silicon

これら 2 式が各実験温度において適用できる珪素濃度範囲は次のとおりである。

$$\begin{aligned} 1400^\circ C ; X_{Si} &< 0.11, \quad 1435^\circ C ; X_{Si} < 0.09, \\ 1470^\circ C ; X_{Si} &< 0.07, \quad 1495^\circ C ; X_{Si} < 0.05 \end{aligned}$$

さらに、 $\gamma_{Si}(l)$  について、 $\alpha_{Si}(l) = \log \gamma_{Si}(l)/(1-X_{Si})^2$  と  $X_{Si}$  との関係を調べてみると Fig. 8 のようになる。図のよう、 $\alpha$  関数をとつても  $X_{Si}$  との間に良好な直線関係が成立する。これより

$$\begin{aligned} \alpha_{Si}(l) &= \log \gamma_{Si}(l)/(1-X_{Si})^2 \\ &= (-5.87 \times 10^3/T + 0.42) \\ &\quad + (2.04 \times 10^4/T - 12.79) X_{Si} \quad \dots \dots \dots (19) \end{aligned}$$

が得られる。また、 $\gamma_{Si}(s)$  に関する  $\alpha$  関数についても同様に、

$$\begin{aligned} \alpha_{Si}(s) &= \log \gamma_{Si}(s)/(1-X_{Si})^2 \\ &= (-3.23 \times 10^3/T - 1.15) \\ &\quad + (2.73 \times 10^4/T - 16.87) X_{Si} \quad \dots \dots \dots (20) \end{aligned}$$

なる実験式が得られる。

これら式(17)～(20)の実験式と実測値との標準偏差をとり比較してみたが、 $\log \gamma_{Si}$  ならびに  $\alpha$  関数のいずれをとつた場合も、ほぼ同程度の大きさであった。

$\ln \gamma_{Si}$  を WAGNER<sup>14)</sup> の理論にしたがつて展開すると、

$$\ln \gamma_{Si} = \ln \gamma_{Si}^0 + \epsilon_{Si}^{Si} \cdot X_{Si} + \frac{1}{2} \epsilon_{Si}^{Si,Si} \cdot X_{Si}^2 + \dots$$

となる。 $\gamma_{Si}^0$  や  $\epsilon_{Si}^{Si}$  などは、上記の式(17)，(18)あるいは式(19)，(20)よりそれぞれ求まるが、両グループの標準偏差にほとんど差がないこと、式(17)，(18)の方が計算を行う際に、より簡単で実用的であることを考慮して、ここでは式(17)，(18)より求めた。

したがつて、無限希薄における珪素の活量係数は、

$$\begin{aligned} \log \gamma_{Si}^0(l) &= -5.87 \times 10^3/T + 0.42 \\ &\quad (1400 \sim 1495^\circ C) \quad \dots \dots \dots (21) \\ \log \gamma_{Si}^0(s) &= -3.23 \times 10^3/T - 1.15 \end{aligned}$$



$C(X_{Si} < 0.07)$ , および  $1495^{\circ}C(X_{Si} < 0.05)$ において測定し, 固体鉄中の珪素の活量係数を決定した。

珪素の無限希薄溶体における活量係数  $\gamma_{Si}^{\infty}$  は, 純粋液体珪素を活量の標準状態にとつた場合には

$$\log \gamma_{Si}^{\infty} (l) = -5.87 \times 10^3 / T + 0.42 \quad (1400 \sim 1495^{\circ}C)$$

純粋固体珪素をとつた場合には

$$\log \gamma_{Si}^{\infty} (s) = -3.23 \times 10^3 / T - 1.15 \quad (1400 \sim 1495^{\circ}C)$$

となつた。

また, 硅素の相互作用母係数および助係数は

$$\epsilon_{Si}^{SI} = 5.39 \times 10^4 / T - 19.97 \quad (1400 \sim 1495^{\circ}C)$$

$$\epsilon_{Si}^{SI} = 465 / T - 0.177 \quad (1400 \sim 1495^{\circ}C)$$

となつた。

### 文 献

- 1) 久保昭夫, 坂尾 弘: 鉄と鋼, 54(1968), p. 314
- 2) P. J. BOWLES, H. F. RAMSTAD, and F. D. RICHARDSON: JISI, 202 (1964), p. 113
- 3) 藤澤敏治, 今岡和也, 坂尾 弘: 鉄と鋼, 64 (1978), p. 196
- 4) K. SCHWERDTFEGER and H.-J. ENGELL: Arch. Eisenhüttenw., 35(1964), p. 533
- 5) R. J. FRUEHAN: Met. Trans., 1(1970), p. 865
- 6) R. HULTGREN, P. D. DESAI, D. T. HAWKINS, M. GLEISER, and K. K. KELLEY: Selected Values of the Thermodynamic Properties of Binary Alloys, (1973), ASM

- 7) F. WOOLLEY and J. F. ELLIOTT: Trans. Met. Soc. AIME, 239(1967), p. 1872
- 8) O. KUBASCHEWSKI, E. LL. EVANS, and C. B. ALCOCK: Metallurgical Thermochemistry, 4th ed., (1967), [Pergamon Press]
- 9) J. F. ELLIOTT and M. GLEISER: Thermochemistry for Steelmaking, 1(1960). [Addison-Wesley]
- J. F. ELLIOTT, M. GLEISER, and V. RAMAKRISHNA: Thermochemistry for Steelmaking, 2 (1963) [Addison-Wesley]
- 10) JANAF Thermochemical Tables: Aug. 1965, The Thermal Research Laboratory, Dow Chemical Company, Midland, Michigan
- 11) H. SCHÄFER and R. HÖRNLE: Z. anorg. allg. Chem., 263(1950), p. 261
- 12) N. C. TOMBS and A. J. E. WELCH: JISI, 172 (1952), p. 69
- 13) G. GRUBE and H. SPEIDEL: Z. Elektrochem., 53 (1949), p. 339
- 14) C. WAGNER: Thermodynamics of Alloys, (1952), [Addison-Wesley]
- 15) C. H. P. LUPIS and J. F. ELLIOTT: Acta Met., 14(1966), p. 529
- 16) H. SCHENCK, M. G. FROHBERG, and E. STEINMETZ: Arch. Eisenhüttenw., 31(1960), p. 671
- 17) C. H. P. LUPIS and J. F. ELLIOTT: Trans. Met. Soc. AIME, 236(1966), p. 130
- 18) H. SAKAO and J. F. ELLIOTT: Met. Trans., 6A (1975), p. 1849